



Universität Stuttgart

Institute für Geometrie und Topologie

$$\begin{bmatrix} g_{20} & g_{21} & g_{22} & g_{23} \\ g_{30} & g_{31} & g_{32} & g_{33} \end{bmatrix}$$

Einstein: $G_{\mu\nu} = 8\pi T_{\mu\nu}$.

$$G_{\mu\nu} = \underset{\substack{\uparrow \\ \text{Ricci-Krümmung}}}{\text{Ric}}_{\mu\nu} - \frac{1}{2} g_{\mu\nu} R$$

$$\text{Ric}_{\mu\nu} = g^{\sigma\kappa} \underset{\substack{\uparrow \\ \text{Riemann-Krümmung}}}{R}_{\sigma\mu\kappa\nu}$$

Anda
Degeratu

Wie Gravitationswellen unser Bild vom Universum erweitern

Die Mathematik der
Gravitationswellen

8. März 2017

LIGO - Pressemitteilung: 11. Februar 2016

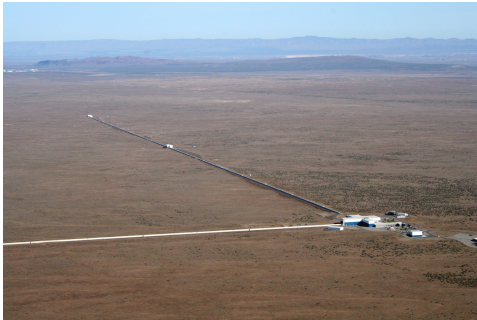
Detektion der Gravitationswellen von der Verschmelzung zweier schwarzen Löcher

Quelle: Caltech/MIT/LIGO Lab und The SXS (Simulating eXtreme Spacetimes) Project

- die Größen vor der Verschmelzung:
29 und 36 Sonnenmassen
- die Größe nach der Verschmelzung:
62 Sonnenmassen
- in pure Energie umgewandelt: 3 Solar Masses
- Entfernung: 1.3 Milliarden Lichtjahren
- Beobachtet: am 14. September 2015

Was ist LIGO?

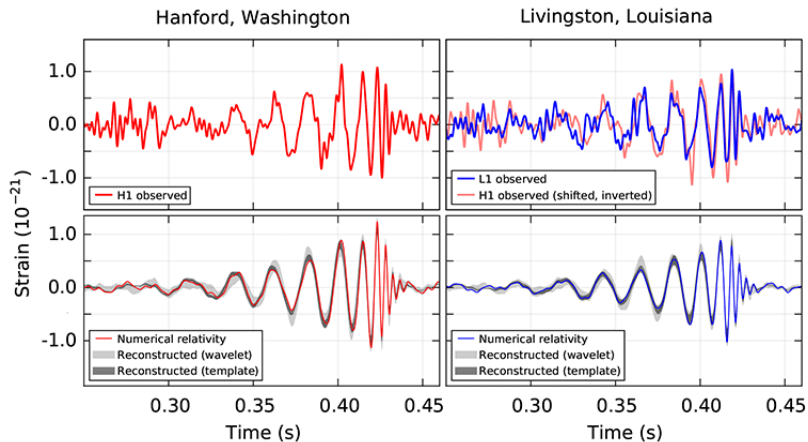
Laser Interferometer Gravitational-Wave Observatory



Zwei Detektoren: Hanford (Washington State) und Livingston (Louisiana)

Foto-Quelle: Caltech/MIT/LIGO Lab

LIGO - Beobachtung: GW150904



Quelle: B.P Abbott et al, *Observation of Gravitational Waves from a Binary Black Hole Merger*, Phys. Rev. Lett. (2016)

Gravitationswellen

winzige Kräuselungen in der **Krümmung** der **Raumzeit**

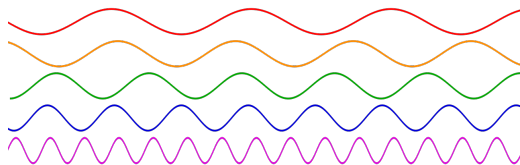
Quelle: Caltech/MIT/LIGO Lab und The SXS (Simulating eXtreme Spacetimes) Project

Gravitationswellen: Vorbermerkungen

Eigenschaften:

- Amplitude (strain): h
- Frequenz: f
- Wellenlänge: λ
- Geschwindigkeit: $c = 3 \times 10^8$ m/s

$$f = \frac{c}{\lambda}, \quad \lambda = \frac{c}{f}$$



Quelle: Wikipedia

Gravitationswellen: Vorbermerkungen

Wie groß, wenn sie LIGO erreichen?

- strain: $h \sim 10^{-21}$
- Frequenz: 10 Hz bis 10 kHz
- Wellenlänge: 30 km bis 30.000 km

Vergleichen:

- Radius des Atoms: 10^{-10} m
- Radius des Protons: 10^{-15} m
- Frequenz des Hörschalles: 20Hz to 20kHz

Nicht **sichtbar**,
aber **hörbar**!

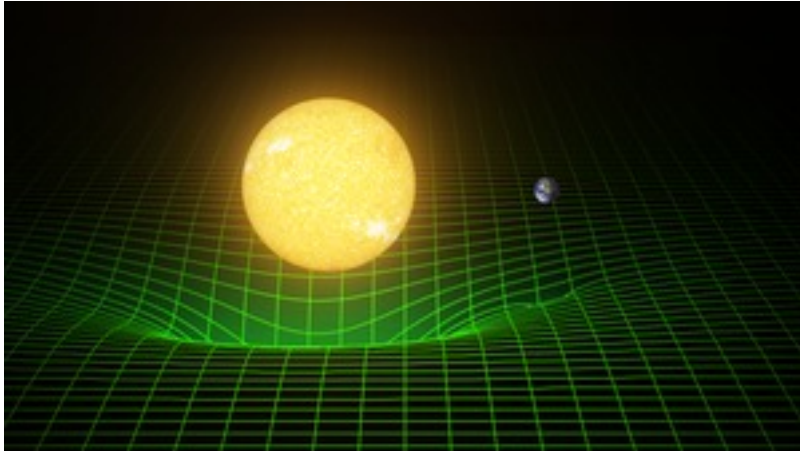
Quelle: Caltech/MIT/LIGO Lab und
The SXS (Simulating eXtreme Spacetimes) Project

LIGO: Aufbau und Funktionsweise

Quelle: Animation von T. Pyle, Caltech/MIT/LIGO Lab

- Konzept: Interferometer
- Detektorarmen: 4 km.
- Ziel: messe Verschiebung von 10^{-18} m, 1/1000 Radius des Protons
- 1992 gegründet: Kip Thorne (Caltech), Ronald Drever (Caltech), Rainer Weiss (MIT)
- 40 Jahren Forschung, 1000 Wissenschaftler, 16 Länder, ...

Die Einsteinschen Feldgleichungen: Wie **Materie** die Raumzeit krümmt



Massive Bodies Warp Space-Time
Image Credit: T. Pyle/Caltech/MIT/LIGO Lab

Die Einsteinschen Feldgleichungen

$$G_{\mu\nu} = 8\pi T_{\mu\nu}$$

Die Einsteinschen Feldgleichungen

$$G_{\mu\nu} = 8\pi T_{\mu\nu}$$

$$G_{\mu\nu} = \frac{8\pi G}{c^4} T_{\mu\nu}$$

Die Einsteinschen Feldgleichungen

$$G_{\mu\nu} = 8\pi T_{\mu\nu}$$

$$G_{\mu\nu} = \frac{8\pi G}{c^4} T_{\mu\nu}$$

$$\text{Ric}_{\mu\nu} - \frac{1}{2}g_{\mu\nu}R = \frac{8\pi G}{c^4} T_{\mu\nu}$$

Die Einsteinschen Feldgleichungen

$$G_{\mu\nu} = 8\pi T_{\mu\nu}$$

$$G_{\mu\nu} = \frac{8\pi G}{c^4} T_{\mu\nu}$$

$$\text{Ric}_{\mu\nu} - \frac{1}{2} g_{\mu\nu} R = \frac{8\pi G}{c^4} T_{\mu\nu}$$

$$R = g^{\mu\nu} \text{Ric}_{\mu\nu}$$

Die Einsteinschen Feldgleichungen

$$G_{\mu\nu} = 8\pi T_{\mu\nu}$$

$$G_{\mu\nu} = \frac{8\pi G}{c^4} T_{\mu\nu}$$

$$\text{Ric}_{\mu\nu} - \frac{1}{2} g_{\mu\nu} R = \frac{8\pi G}{c^4} T_{\mu\nu}$$

$$R = g^{\mu\nu} \text{Ric}_{\mu\nu}$$

$$R = \sum_{\mu=0}^3 \sum_{\nu=0}^3 g^{\mu\nu} \text{Ric}_{\mu\nu}$$

Die Einsteinschen Feldgleichungen

$$G_{\mu\nu} = 8\pi T_{\mu\nu}$$

$$G_{\mu\nu} = \frac{8\pi G}{c^4} T_{\mu\nu}$$

$$\text{Ric}_{\mu\nu} - \frac{1}{2} g_{\mu\nu} R = \frac{8\pi G}{c^4} T_{\mu\nu}$$

$$R = g^{\mu\nu} \text{Ric}_{\mu\nu} \quad R = \sum_{\mu=0}^3 \sum_{\nu=0}^3 g^{\mu\nu} \text{Ric}_{\mu\nu}$$

$$\text{Ric}_{\mu\nu} = \sum_{\sigma=0}^3 \sum_{\kappa=0}^3 g^{\sigma\kappa} R_{\sigma\mu\kappa\nu}$$

Die Einsteinschen Feldgleichungen

$$G_{\mu\nu} = 8\pi T_{\mu\nu}$$

$$G_{\mu\nu} = \frac{8\pi G}{c^4} T_{\mu\nu}$$

$$\text{Ric}_{\mu\nu} - \frac{1}{2} g_{\mu\nu} R = \frac{8\pi G}{c^4} T_{\mu\nu}$$

$$R = g^{\mu\nu} \text{Ric}_{\mu\nu}$$

$$R = \sum_{\mu=0}^3 \sum_{\nu=0}^3 g^{\mu\nu} \text{Ric}_{\mu\nu}$$

$$\text{Ric}_{\mu\nu} = \sum_{\sigma=0}^3 \sum_{\kappa=0}^3 g^{\sigma\kappa} R_{\sigma\mu\kappa\nu}$$

$$R_{\sigma\mu\nu}^{\rho} = \partial_{\mu} \Gamma_{\nu\sigma}^{\rho} - \partial_{\nu} \Gamma_{\mu\sigma}^{\rho} + \Gamma_{\mu\lambda}^{\rho} \Gamma_{\nu\sigma}^{\lambda} - \Gamma_{\nu\lambda}^{\rho} \Gamma_{\mu\sigma}^{\lambda}$$

Die Einsteinschen Feldgleichungen

$$G_{\mu\nu} = 8\pi T_{\mu\nu}$$

$$G_{\mu\nu} = \frac{8\pi G}{c^4} T_{\mu\nu}$$

$$\text{Ric}_{\mu\nu} - \frac{1}{2} g_{\mu\nu} R = \frac{8\pi G}{c^4} T_{\mu\nu}$$

$$R = g^{\mu\nu} \text{Ric}_{\mu\nu}$$

$$R = \sum_{\mu=0}^3 \sum_{\nu=0}^3 g^{\mu\nu} \text{Ric}_{\mu\nu}$$

$$\text{Ric}_{\mu\nu} = \sum_{\sigma=0}^3 \sum_{\kappa=0}^3 g^{\sigma\kappa} R_{\sigma\mu\kappa\nu}$$

$$R_{\sigma\mu\nu}^{\rho} = \partial_{\mu} \Gamma_{\nu\sigma}^{\rho} - \partial_{\nu} \Gamma_{\mu\sigma}^{\rho} + \Gamma_{\mu\lambda}^{\rho} \Gamma_{\nu\sigma}^{\lambda} - \Gamma_{\nu\lambda}^{\rho} \Gamma_{\mu\sigma}^{\lambda}$$

$$\Gamma_{\mu\sigma}^{\lambda} = \frac{1}{2} g^{\lambda\kappa} \left(\frac{\partial g_{\kappa\mu}}{\partial x^{\sigma}} + \frac{\partial g_{\kappa\sigma}}{\partial x^{\mu}} - \frac{\partial g_{\mu\sigma}}{\partial x^{\kappa}} \right)$$

Metrik und Abstandmessung

- ① Koordinaten im Raumzeit:

$$(t, x, y, z) \quad \text{oder} \quad (x_0, x_1, x_2, x_3)$$

Minkowski-Raumzeit \mathbb{R}^4 mit der Minkowski-Metrik

$$\eta = -dt^2 + dx^2 + dy^2 + dz^2 = -dx_0^2 + dx_1^2 + dx_2^2 + dx_3^2$$

- ② Eine allgemeine Raumzeit (M, g) mit Metrik

$$g = g_{\mu\nu} dx_\mu dx_\nu = \sum_{\mu, \nu=0}^3 g_{\mu\nu} dx_\mu dx_\nu$$

Lösung der Einsteischen Feldgleichungen

$$G_{\mu\nu} = 8\pi T_{\mu\nu}$$

Gravitationswellen

- Die Einsteinschen Feldgleichungen sind nicht-linear und dynamisch

Es gibt keinen klaren Unterschied zwischen die **Welle** und die **Hintergrund-Metrik**

- Der Begriff von **Welle** ist nur innerhalb bestimmte Gebiete gültig:

- die linearisierte Theorie
- kleine Störung der Hintergrund-Metrik
- die Post-Newtonsche Theorie (schwache Gravitationsfeld, langsame Bewegung)

- Zwei Denkweisen:

① Riemannscher Krümmungstensor $R_{\alpha\beta\gamma\delta}^{GW}$

② **Störung** der **Hintergrund-Metrik**: $g_{\mu\nu} = g_{\mu\nu}^B + h_{\mu\nu}$

Gravitationswellen durch den Minkowski-Raum

- Die Raumzeit-Metrik ist eine kleine Störung der flachen Minkowski-Metrik:

$$g_{\mu\nu} = \eta_{\mu\nu} + h_{\mu\nu}$$

- Eichtransformationen

$$x_{\mu}^{\text{new}} = x_{\mu}^{\text{old}} + \xi_{\mu}(x^{\text{old}}) \implies h_{\mu\nu}^{\text{new}} = h_{\mu\nu}^{\text{old}} + \partial_{\nu}\xi_{\mu} - \partial_{\mu}\xi_{\nu} = h_{\mu\nu}^{\text{old}} + \xi_{\mu,\nu} - \xi_{\nu,\mu}$$

- Lorenz-** (harmonische) **Eichung**: Für $\bar{h}_{\mu\nu} := h_{\mu\nu} - \frac{1}{2}\text{Trace}(h_{\mu\nu})\eta_{\mu\nu}$ gilt

$$\sum_{\nu=0}^4 \partial_{\nu}(\bar{h}_{\mu\nu}) = 0 \iff \bar{h}_{\mu\nu,\nu} = 0$$

Wir finden so eine Eichung für ξ_{μ} Lösung der $\square\xi_{\mu} = \bar{h}_{\mu\nu,\nu}$.

- Die **Einsteinschen Feldgleichungen** in der **Lorenz-Eichung**:

$$\square\bar{h}_{\mu\nu} = 16\pi T_{\mu\nu}$$

Im Vakuum, eine bessere Eichung: die TT-Eichung

- Die Einsteinschen Feldgleichungen im Vakuum: $\square \bar{h}_{\mu\nu} = 0$

Die einfachste Lösung: monochromatische, ebene Wellen

Alle anderen Lösungen: Überlagerung!

- $\bar{h}_{\mu\nu}$ in der Lorenz-Eichung: $\bar{h}_{\mu\nu,\nu} = 0$

Aber die Lorenz-Eichung ist nicht eindeutig bestimmt! Jede ξ_μ mit $\square \xi_\mu = 0$ liefert eine Lorenz-Eichung.

Gibt es eine Lorenz-Eichung, die **besonders guten** Eigenschaften hat?

- **Ja!** Wenn die Welle eine **ebene Welle** ist: die **TT**-Eichung

Transverse zur Ausbreitungsrichtung und **Traceless**

Eine ebene Welle in Vakuum: die TT-Eichung

Annahme

- $(x_0, x_1, x_2, x_3) = (t, x, y, z)$
- die Welle **breitet** sich in der **z -Richtung** aus: $h_{\mu\nu}(t - z/c) = h_{\mu\nu}(t - z)$

In der **TT-Eichung**:

$$h_{0\mu}^{TT} = 0, \quad h_{z\mu}^{TT} = 0, \quad h_{xx}^{TT} = -h_{yy}^{TT}, \quad h_{xy}^{TT} = h_{yx}^{TT}$$

Definiere zwei Polarisationen

$$h_+ = h_{xx}^{TT} = -h_{yy}^{TT} \quad \text{and} \quad h_\times = h_{xy}^{TT} = h_{yx}^{TT}$$

Die Metrik ist nur durch diese zwei Polarisationen gegeben:

$$g = -dt^2 + dz^2 + (1 + h_+(t - z))dx^2 + (1 - h_+(t - z))dy^2 + 2h_\times(t - z)dxdy.$$

Außerdem: Wenn die Welle auch **monochromatisch** ist, dann

$$h_+(t - z) = A_+ \cos(\omega(t - z)) \quad \text{und} \quad h_\times(t - z) = A_\times \cos(\omega(t - z))$$

- ω ist die **Winkelfrequenz** der Welle (gemessen in Radian pro Sekunde)
- $f = 2\pi\omega$ ist die **Frequenz** der Welle, die von **LIGO gemessen wird** (in Zyklen pro Sekunde)

Kein Vakuum: Die Quadrupolformeln

Eine Quelle mit dem Energie-Impuls-Tensor $T_{\mu\nu}$

$$\square h_{\mu\nu} = 16\pi T_{\mu\nu}$$

Nach mehreren Näherungen liefert eine Lösung die **Quadrupolformel**

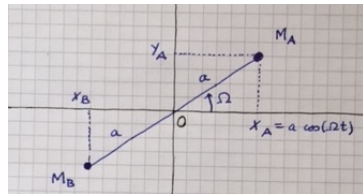
$$h_{jk}^{TT}(t, \mathbf{x}) = \left(\frac{2}{r} \int T_{00,00}(t-r, \mathbf{y}) y^j y^k d^3\mathbf{y} \right)^{TT} = \frac{2}{r} \frac{d^2}{dt^2} I_{jk}(t-r)^{TT} = \frac{2}{r} \ddot{\mathcal{I}}_{jk}(t-r)^{TT}$$

- I = das zweite Moment der Massenverteilungen
- \mathcal{I} = **das Massen-Quadrupolmoment**
- der **Energieverlust**

$$\frac{dE}{dt} = \frac{1}{5} \langle \ddot{\mathcal{I}}_{jk} \ddot{\mathcal{I}}_{jk} \rangle$$

Doppelsternsystem: Zwei Sterne mit Massen M_A und M_B

- Gesamte Masse: $M = M_A + M_B$;
Reduzierte Masse: $\mu = M_A M_B / M$.
- Annahme: Kreisbahnen
 $2a =$ Abstand zwischen den Massenpunkten
 $\Omega =$ Winkelgeschwindigkeit
das 3. Kepler-Gesetz: $\Omega^2 = M/a^3$



- Annahme: die Bahn ist in der xy -Ebene

$$x_A = \frac{M_B}{M} a \cos \Omega t, \quad x_B = -\frac{M_A}{M} a \cos \Omega t$$
$$y_A = \frac{M_B}{M} a \sin \Omega t, \quad y_B = -\frac{M_A}{M} a \sin \Omega t$$

- das zweite Moment der Massenverteilungen: $I_{jk} = M_A x_{A,j} x_{A,k} + M_B x_{B,j} x_{B,k}$

$$I_{xx} = \mu a^2 \cos^2 \Omega t, \quad I_{yy} = \mu a^2 \sin^2 \Omega t, \quad I_{xy} = \mu a^2 \cos \Omega t \sin \Omega t.$$

$$I_{xx} = \mu \left(\frac{M}{\Omega^2} \right)^{2/3} \cos^2 \Omega t, \quad I_{yy} = \dots \quad \text{mit dem 3. Kepler Gesetz,}$$

Doppelsternsystem, II

- $\ddot{i}_{xx} = -2\mu(M\Omega)^{2/3} \cos 2\Omega t$, $\ddot{i}_{yy} = 2\mu(M\Omega)^{2/3} \cos 2\Omega t$, $\ddot{i}_{xy} = -2\mu(M\Omega)^{2/3} \sin 2\Omega t$.
- Die Welle hat Winkel-Frequenz 2Ω . Dann $f = \frac{2\Omega}{2\pi} = \frac{\Omega}{\pi}$.
- Es ist eigentlich besser alles in der Kugelkoordinaten θ, ϕ umzuschreiben:

$$h_+ = h_{\theta\theta}^{TT} = -2(1 + \cos^2 \theta) \frac{\mu(M\Omega)^{2/3}}{r} \cos(2(\Omega t - \Omega r - \phi))$$

$$h_{\times} = h_{\theta\phi}^{TT} = -4 \cos(\theta)^2 \frac{\mu(M\Omega)^{2/3}}{r} \sin(2(\Omega t - \Omega r - \phi))$$

- monochromatische Strahlung!!!
- Man kann das benutzen, um eine Abschätzung der erwarteten Amplitude zu bekommen (mit G und c in der obigen Formula eingesetzt)
- **Beispiel:** $r = 20 \text{ Mps} \sim 65 \text{ Million Lichtjahren}$, $M_A = M_B = 10 M_{\text{Sonne}}$, $a = 14 \text{ Km} \implies h \sim 10^{-21} \text{ m}$

Doppelsternsystem, III

- Frequenz der Gravitationswelle: $f = \frac{\Omega}{\pi}$.
- Der Energieverlust

$$\frac{dE_{\text{GW}}}{dt} = -\frac{1}{5} [(\ddot{i}_{xx})^2 + (\ddot{i}_{yy})^2 + 2(\ddot{i}_{xy})^2] = -\frac{32}{5} \mu^2 a^2 \Omega^6 = -\frac{32}{5} \frac{\mu^2 M^3}{a^5}$$
$$\frac{dE_{\text{binary}}}{dt} = \frac{d}{dt} \left(-\frac{\mu M}{2a} \right)$$

- Es folgt: $a = a_0(1 - t/\tau_0)^{1/4}$ mit

$$\tau_0 = \frac{5}{256} \frac{a_0^4}{\mu M^2} = \frac{5\mathcal{M}}{256(\mathcal{M}\Omega)^{8/3}} \quad \text{die Zeit bis Verschmelzung}$$

und

$$\mathcal{M} = \mu^{3/5} M^{2/5} \quad \text{die Chirp-Masse.}$$

- Ähnlich: $df/dt = 3f/8\tau_0$.

Doppelsternsystem, IV

Die vom Gravitationswellen getragenen **Information** über das Doppelsternsystem:

- aus $\cos(2\Omega t + \text{Phase}) \implies$ die **Frequenz der Gravitationswellen** $f = \Omega/\pi$.
- aus $df/dt = 3f/8\tau_0 \implies$ **Zeit bis Verschmelzung** und die **Chirp-Masse**
- aus der Amplituden $h_+^{\text{amp}} = -2(1 + \cos(\theta)^2) \frac{\mu(a\Omega)^2}{r}$ und $h_{\times}^{\text{amp}} = -4 \cos(\theta)^2 \frac{\mathcal{M}(\pi\mathcal{M}f)^{2/3}}{r} \implies$
Bahnneigung-Winkel θ und **Distanz bis die Quelle r**

Aber:

- Das ist OK nur für die Umkreisung der Sternen mit **kleiner** Geschwindigkeit
- Spätere Umkreisung: Der Abstand nimmt ab, und die Rotationsgeschwindigkeit nimmt zu.
Es wird mehr und mehr **relativistic**, d.h. $v \sim \Omega a \sim \sqrt{M/a}$ nähert **$c = 1$**
- **Man braucht andere Methoden:** Post-Newtonsche Korrekturen und Numerische Relativitätstheorie
- Dies Teil der Gravitationswelle enthält Information über die **einzelnen Massen** und die **Spins** der Sternen, etc.

LIGO: die **zweite** Beobachtung, **GW151226**

- Die Größen vor der Verschmelzung:
14 und 8 Sonnenmassen
- Die Größe nach der Verschmelzung:
21 Sonnenmassen
- in pure Energie umgewandelt: 1 Sonnenmasse
- Beobachtet: am 26. Dezember 2015

Gravitationswellen, ein neues Fenster zum Universum

Eine neue Art von Astronomie hat begonnen: **Gravitationswellenastronomie**

Bis jetzt: das Universum nur durch **Elektromagnetische Wellen**

① Sichtbare Astronomie

- vor 17. Jahrhunderte: mit dem bloßen Augen
- seit Galileo Galilei: Teleskope

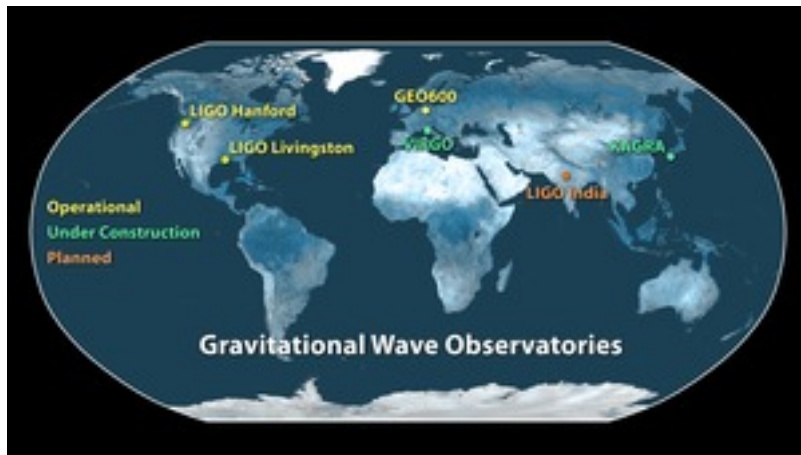
② 1940: Radioastronomie

- die Struktur der Milchstraße
- Entdeckung der Pulsaren und Quasaren, extrem leuchtkräftigen Galaxien, und Molekülen im interstellaren Raum.
- Nachweis der kosmischen Hintergrundstrahlung
(mit Wellenlängen von etwa eine Millimeter)

③ 1960: Röntgenstrahlen (X-rays)

- Neutronensterne und schwarze Löcher
- explodierende Sterne (Supernova)
- Umgebung der supermassiven schwarzen Löcher im Zentrum der Galaxien

Zukunft: LIGO

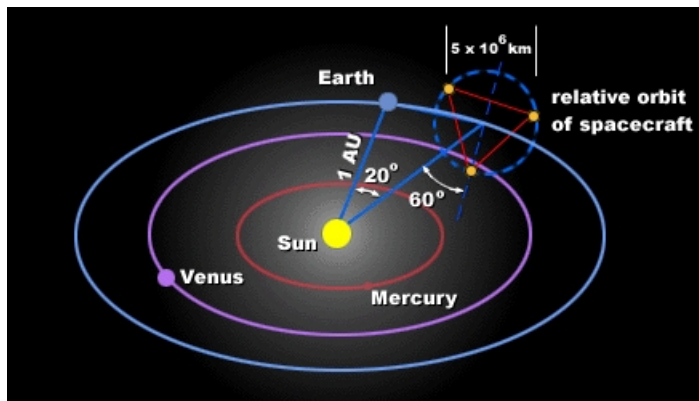


Gravitational Wave Observatories Across the Globe

Image Credit: Caltech/MIT/LIGO Lab

Zukunft: LISA

Laser Interferometer Space Antenna Project



LISA in orbit

Copyright: European Space Agency (ESA)